

Y. KERGALL

Algorithmes polynomiaux pour la recherche d'un chemin optimal dans une scène planifiée

RAIRO. Recherche opérationnelle, tome 16, n°2 (1982), p. 131-154

http://www.numdam.org/item?id=RO_1982__16_2_131_0

© AFCET, 1982, tous droits réservés.

L'accès aux archives de la revue « RAIRO. Recherche opérationnelle » implique l'accord avec les conditions générales d'utilisation (<http://www.numdam.org/conditions>). Toute utilisation commerciale ou impression systématique est constitutive d'une infraction pénale. Toute copie ou impression de ce fichier doit contenir la présente mention de copyright.

NUMDAM

Article numérisé dans le cadre du programme
Numérisation de documents anciens mathématiques
<http://www.numdam.org/>

ALGORITHMES POLYNOMIAUX POUR LA RECHERCHE D'UN CHEMIN OPTIMAL DANS UNE SCÈNE PLANIFIÉE (*)

par Y. KERGALL ⁽¹⁾

Résumé. — *Nous proposons des algorithmes polynomiaux pour résoudre le problème de la recherche d'un chemin de coût minimal dans une scène planifiée lorsqu'on ne considère qu'un seul critère, lorsqu'on considère une hiérarchie de critères ou encore le problème multicritère.*

Mots-clés : algorithme, chemin optimal, graphe, robotique.

Abstract. — *We propose polynomial algorithms for solving the problem of the search of a minimum cost path in a planified area. We may consider either only one criterion or a hierarchy of criteria, or the problem with several criteria.*

Keywords: Algorithms, optimal path, graph, robotics.

INTRODUCTION

Un article récent [1] présenté au 2nd Congrès de Reconnaissance des formes et Intelligence artificielle de Toulouse (septembre 1979), propose un algorithme de type « énumératif » pour résoudre le problème de la recherche d'un chemin optimal par le biais d'une hiérarchie de critères, dans une scène planifiée.

Il existe de nombreux algorithmes polynomiaux classiques ⁽²⁾ en théorie des graphes et recherche opérationnelle pour résoudre le problème du plus court chemin : Ford, Ford amélioré, Bellman, Moore-Dijkstra ou algorithmes matriciels. Tous ces algorithmes opèrent sur des graphes valués. Or, dès que nous travaillons avec le critère de changement de direction, il n'est plus possible de valuer le graphe représentatif de la relation de voisinage entre les cases. Nous verrons de plus sur un exemple au paragraphe 6 que les chemins construits ici ne vérifient plus le théorème d'optimalité de Bellman, très général en recherche opérationnelle, puisque le coût d'un chemin ne dépend pas seulement des arêtes parcourues ou des sommets traversés mais de la façon dont se suivent les arêtes sur le chemin.

(*) Reçu juin 1981.

(1) Université de Tours, Laboratoire d'Informatique appliquée, parc Grandmont, 37200 Tours et depuis le 1/10/81 : Centre universitaire, informatique, 33, rue Louis-Pasteur, 84000 Avignon.

(2) Pour toutes les notions classiques sur graphes et algorithmes (voir Gondran et Minoux [2]).

Néanmoins, si ces algorithmes classiques ne peuvent être directement utilisés, nous proposons de les adapter à notre problème en leur conservant leur caractère polynomial.

En effet tous ces algorithmes reviennent à décomposer un graphe en niveaux et nous proposons ici de décomposer la scène en niveaux à partir de la case départ, sans construire de graphe représentatif de la scène qui est une perte de temps et de place mémoire.

L'utilisation de procédures énumératives [2], [6], ne nous semble pas s'imposer lorsque la scène est entièrement connue ou qu'elle est de taille modeste (jusqu'à 100×100) ce qui est bien souvent suffisant dans les applications.

Dans d'autres cas relevant de l'intelligence artificielle (univers partiellement inconnu au départ et appréhendé à l'aide de capteurs de différents types, univers de très grande dimension), on aura recours à d'autres algorithmes [3, 4, 5, 8], basés sur l'utilisation d'heuristiques.

Lorsque dans un problème interviennent un grand nombre de variables, trois types de méthodes permettent de réduire ce nombre de variables :

(1) réduire la taille de la structure de données (généralement une arborescence) qui est la représentation interne du problème : méthode $\alpha - \beta$, Graph Traversal de Doran et Michie [9], Flow-down method [10], etc.;

(2) partitionner le problème en k sous-problèmes [6];

(3) regrouper les variables en méta-variables ce que nous faisons ici en définissant et construisant des « blocs » horizontaux ou verticaux, notion qui nous semble assez bien représenter le travail effectué par un opérateur humain confronté à un labyrinthe lorsqu'apparaît le critère de changement de direction.

Cette notion permet bien entendu de réduire le nombre de variables de départ (les cases) mais sans trop compliquer les relations sur les « méta-variables » obtenues. En particulier la notion de pavé maximal (au sens de l'inclusion) comme rectangle formé de cases autorisés, notion analogue à celle de cellule dans [4] semble mal adaptée ici vu la difficulté à retrouver la suite des cases à emprunter une fois la suite des pavés trouvée.

Remarquons enfin que si dans [1] l'exploration de la scène en profondeur d'abord conduit à essayer d'améliorer pas à pas un chemin initial non optimal mais néanmoins le meilleur possible (à l'aide d'une heuristique à rapprocher de celle utilisée par Hart [3] dans l'algorithme classique A^*), les parcours en largeur d'abord utilisés ici permettent de compléter un début de chemin optimal.

Après avoir défini le problème, présenté l'article [1] et proposé des simplifications préliminaires sur la scène, nous proposons deux algorithmes pour le problème de hiérarchie de critères et le problème multicritère. Leur complexité

est ensuite étudiée et nous donnons quelques temps d'exécution en fonction de divers paramètres pour des exemples tirés au hasard. Les programmes sont en annexe.

1. POSITION DU PROBLÈME

Définition d'une scène planifiée

Nous appelons scène planifiée, une aire de déplacement rectangulaire de M cases sur N cases, que l'on pourrait représenter par une matrice de type $M \times N$. Nous avons préféré, pour des raisons d'efficacité de programmation, associer à chaque case (i, j) de la scène, avec $1 \leq i \leq M$ et $1 \leq j \leq N$, une valeur $x = (i-1)N + j$. Ainsi on définit la scène à l'aide d'un vecteur, noté LAB, de la façon suivante : pour $1 \leq x \leq MN$: $LAB(x) = 0$ si la case x est interdite (obstacle); $LAB(x) = 1$ si la case x est autorisée.

Chaque case, non située sur un bord de la scène, possède 4 cases voisines. Un chemin est un ensemble de cases autorisées voisines. Le problème est la recherche d'un chemin « optimal » entre une case de départ notée D et une case d'arrivée notée A .

Critères d'optimalité

Nous nous sommes intéressés aux deux critères suivants : C1, nombre de cases traversées; C2, nombre de changements de direction.

Problème 1 : On considère les deux critères séparément et on recherche un chemin optimal pour C1 ou C2 c'est-à-dire comprenant un nombre minimal de cases traversées ou un nombre minimal de changements de direction.

Problème 2 : Hiérarchie de critères : un chemin optimal sera parmi les chemins optimaux pour C2, un chemin optimal pour C1 [problème considéré dans (1)].

Problème 3 : Plus généralement soit b le coût représenté par le fait de traverser une case, a le coût d'un changement de direction. Soit n_1 le nombre de changements de direction et n_2 le nombre de cases traversées pour un chemin allant de D à une case x . La valuation de cette case x s'écrit $v(x) = n_1 a + n_2 b$.

On se propose de chercher $v^*(x) = \min v(x)$ et de déterminer un chemin correspondant à cet optimum.

2. MÉTHODE DELANNOY-LEROI-BOURTON [1]

Cette méthode comprend 3 parties :

- (1) réduction du nombre de cases autorisées;
- (2) recherche d'un premier chemin entre D et A ;
- (3) amélioration de ce chemin.

2.1. Réduction du nombre de cases autorisées

En notant d^+ le nombre de cases voisines d'une case donnée, on élimine au départ toutes les cases – sauf A et D – telles que $d^+ = 1$, et que l'on appelle « cul-de-sac » dans la suite. On améliorera cette réduction au paragraphe 3.

2.2. Recherche d'un premier chemin entre D et A

Ce chemin va servir d'initialisation à cette méthode qui est une méthode de type « énumératif ». Ce premier chemin est construit avec l'heuristique suivante : en cours de construction du chemin, la suivante d'une case est sa voisine qui minimise la distance euclidienne à A .

2.3. Amélioration de ce chemin

Pour cela on essaie d'améliorer tout sous -chemin compris entre 2 sommets vérifiant $d^+ > 2$ (points de branchement). On ne sera assuré de l'optimalité que si l'on énumère tous les sous-chemins possibles. On connaît les limites de telles procédures, même lorsqu'on leur applique certaines règles réduisant le nombre d'opérations envisagées (6). La règle de préclusion (sur les poids des chemins) est par exemple appliquée ici, qui abandonne tout début de chemin dont le poids atteint celui du meilleur chemin trouvé jusqu'alors.

3. SIMPLIFICATIONS PRÉLIMINAIRES DE LA SCÈNE

Les algorithmes présentés ici seront d'autant plus performants que la scène possède moins de cases autorisées, aussi va-t'on essayer de réduire *a priori* le nombre de cases permises.

Exemple (fig. 1) :

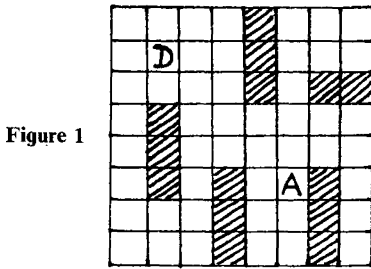


Figure 1

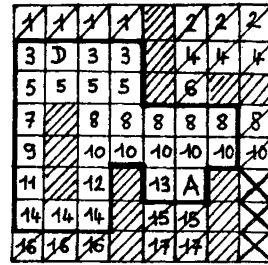


Figure 2

On élimine d'abord les portions en culs-de-sac (marquées X sur la figure 2); pour cela on peut, dans un premier passage, éliminer tous les culs-de-sac de la scène. Puis on rebalaye la scène en éliminant les nouveaux culs-de-sac, etc., jusqu'à ce que l'on ne puisse plus rien éliminer. Si λ est la longueur maximale d'une portion en cul-de-sac, la complexité est en $O[(\lambda + 1)MN]$.

Nous avons préféré programmer la méthode suivante, présentée ici sous une forme recursive :

```

pour i=1 à MN
  Examiner la i-ième case :
  | si LAB (i) n'a qu'un seul voisin, LAB (j), alors :
  | | éliminer LAB (i);
  | | examiner LAB (j);
  | fin
fin
    
```

On génère un « backtrack » (retour en arrière) de profondeur maximale λ . On examine ici au maximum $MN + \sum \lambda_k$ cases, où $\sum \lambda_k$ représente le nombre total des cases appartenant aux portions en culs-de-sac, d'où une complexité en $O(MN)$.

On définit ensuite des blocs horizontaux comme des ensembles maximaux (au sens de l'inclusion) de cases autorisées voisines situées sur une même ligne. Sur la figure 2 on a affecté du même numéro les cases appartenant au même bloc horizontal.

Définissons le graphe G_H de voisinage des blocs horizontaux par : soit 2 blocs horizontaux i et j alors $(i, j) \in G_H \Leftrightarrow$ il existe au moins une case du bloc i et une case du bloc j qui sont voisines. On supprimera de la scène toutes les cases appartenant à un bloc horizontal qui est une feuille de G_H et qui ne contient pas D ou A (une feuille supprimée est notée $\bullet - // - \bullet$ sur la figure 3). Ce graphe G_H pourrait être réutilisé pour trouver un chemin présentant un nombre minimal de changements de direction (§ 4.2). En définissant les blocs verticaux et G_V graphe de voisinage des blocs verticaux, on supprime aussi les feuilles de G_V .

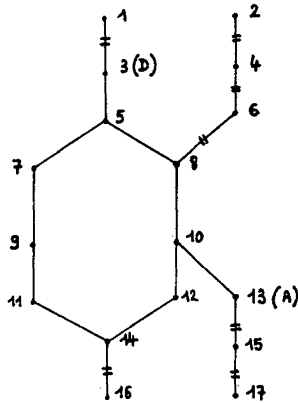


Figure 3

Pour l'exemple ci-dessus, les cases marquées \square sur la figure 2 sont éliminées. Cette simplification préliminaire permet de supprimer toutes les cases situées, récursivement, sur les « bords » de la scène, en particulier des cases ayant au départ un nombre quelconque de voisins.

4. PROBLÈME 1

4.1. Nombre minimal de cases traversées

Nous notons ici $l_1(x)$, la longueur c'est-à-dire le nombre de cases traversées par un chemin allant de D à la case x . La détermination de $l_1^*(A)$ qui est la longueur minimale d'un chemin de D à A ainsi que le chemin correspondant est très simple puisqu'il suffit de décomposer le scène en niveaux N_i à partir de D en posant :

$$N_0 = \{ D \},$$

$$N_i = \{ \text{ensemble des cases } x \text{ voisines d'une case de } N_{i-1} \text{ et non encore atteintes} \}.$$

Il est évident que l'on peut écrire :

$$N_i = \{ \text{cases } x / l_1^*(x) = i \}.$$

On arrête la décomposition en niveaux dès qu'il existe j tel que $N_j = \emptyset$ (dans ce cas le problème n'a pas de solution) ou dès que A est atteinte; dans ce cas en notant $\lambda = l_1^*(A)$, un chemin solution est une suite de cases voisines partant de A et de valuations $\lambda, \lambda_{-1}, \lambda_{-2}, \dots, 2, 1, 0$.

Remarque : Il est clair que ce que nous faisons ici est la décomposition en niveaux du graphe G_R représentatif de la scène. Ce graphe pourrait être défini par :

$$G_R = (X, \Gamma).$$

X : ensemble des cases autorisées.

Γ : pour deux cases i et j , $(i, j) \in \Gamma \Leftrightarrow i$ et j sont voisines. Il est bien sûr inutile de construire explicitement G_R ni même de se le donner sous la forme d'une case et de la liste de ses voisines (1) qui occupe encore un nombre de mémoires égal à 4 fois le nombre de cases libres ce qui peut être considérable sur une scène 100×100 . En effet nous regarderons *en cours d'algorithme* quelles sont les cases libres voisines d'une case rencontrée, puisque chaque case ne sera considérée qu'une seule fois, sauf au paragraphe 6.

Exemple : Sur la figure 4.

4.2. Nombre minimal de changements de direction

Nous notons $l_2(x)$ la longueur, c'est-à-dire le nombre de changements de direction pour un chemin allant de D à x . Nous cherchons $l_2^*(A)$ et le chemin correspondant. Nous proposons une nouvelle décomposition en niveaux en notant :

$$N_0 = D \cup \{ \text{cases que l'on peut atteindre}$$

sans changer de direction (directement) à partir de D }.

$$N_i = \{ \text{cases non atteintes}$$

et que l'on peut atteindre directement à partir de N_{i-1} }.

On s'arrête dès qu'il existe j tel que $N_j = \emptyset$ ou dès que l'on atteint A . Si A appartient à N_k alors $l_2^*(A) = k$.

En effet si A appartient à N_k alors $l_2(A) = k$.

De plus $k = \min l_2(A) = l_2^*(A)$ puisqu'on s'arrête dès que l'on atteint A , c'est-à-dire qu'il n'existe pas de niveau N_l , $l < k$, et $A \in N_l$.

Pour retrouver un chemin minimal, il suffit au cours de l'algorithme de noter chaque fois que l'on atteint une case x de N_i , à partir de quelle case y de N_{i-1} on a pu atteindre x . On posera $\text{PRED}(x) = y$ qui nous donnera ainsi la liste des prédécesseurs de chaque sommet. En d'autres termes PRED contient la liste des sommets où l'on a changé de direction entre D et A ; entre 2 de ces sommets, le chemin en ligne droite est évident à reconstituer.

Exemple :

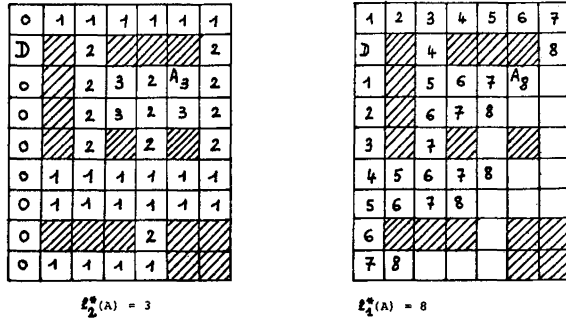
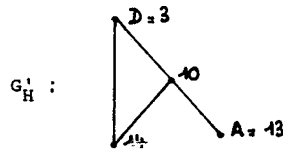


Figure 4

4.3. Utilisation de G_H (§ 3, fig. 3)

Dans le graphe G_H nous avons représenté les blocs horizontaux et les liaisons entre eux. Ces arêtes entre 2 blocs horizontaux représentent des liaisons *verticales* que l'on peut songer à prolonger de façon à relier tout bloc horizontal i à tout bloc horizontal j s'il existe un bloc vertical entre i et j (fermeture transitive de la relation de voisinage entre 2 blocs horizontaux)



On obtient un graphe G'_H : A tout chemin $x_0 x_1 \dots x_n$ de G'_H ($D \in x_0, A \in x_n$) on fait correspondre simplement un chemin dans la scène puisque l'on se déplace horizontalement dans tout bloc x_i et verticalement entre tout couple (x_i, x_{i+1}) , $0 \leq i \leq n-1$. Le nombre de changements de direction est :

$$l_2(A) = 2(n-1) + \varepsilon + \varepsilon'$$

avec $\varepsilon = 0$ si on peut atteindre directement, dans la scène, x_1 à partir de D , 1 sinon et $\varepsilon' = 0$ si on peut atteindre directement, dans la scène x_{n-1} à partir de A , 1 sinon.

Pour le chemin (3, 10, 13) de G'_H on trouve $l_2(A) = 2 + 1 + 0 = 3$ et pour (3, 14, 10, 13), $l_2(A) = 4 + 1 + 0 = 5$.

On se ramène donc, à $\varepsilon + \varepsilon'$ près, à la recherche d'un chemin comportant le moins d'arêtes dans un graphe très réduit.

5. HIÉRARCHIE DE CRITÈRES DE CHOIX

Disposant de 2 critères de choix, on commence par minimiser le critère « le plus coûteux ». Pour un robot, le changement de direction est l'un des critères les plus coûteux en temps donc en énergie. Nous résolvons alors le problème : parmi les chemins qui comportent un minimum de changements de direction, quels sont ceux qui traversent un nombre minimal de cases [problème étudié dans (1)].

Nous réappliquons l'algorithme vu en 4.2, mais pour chaque niveau N_i , on associe de plus à toute case x de N_i sa valuation $l_1(x)$ obtenue de la façon suivante [où $d(x, y)$ représente le nombre de cases traversées pour aller (en ligne droite) de x à y]:

5.1. Algorithme

On rappelle (voir 4.2) que si une case x est directement accessible à partir d'une case y , c'est que l'on peut aller de y à x sans changer de direction, c'est-à-dire en suivant une horizontale ou une verticale de la scène :

Début Initialisation : pour toute case autorisée de la scène :
 $l_2(x) = -1$
 $i = -1; N_{-1} = \{D\}; l_1(D) = 0$

Répéter : Pour chaque case y dans N_i , et pour toute case x directement accessible à partir de y :
faire :
 si $l_2(x) = -1$: mettre x dans N_{i+1}
 faire $l_2(x) = i + 1$
 et $l_1(x) = l_1(y) + d(x, y)$
 PRED (x) = y
 si $l_2(x) = i + 1$:
 $l_1(x) = \min(l_1(x), l_1(y) + d(x, y))$
 si $l_1(x)$ est modifié : PRED (x) = y
 $i = i + 1$

Tant que ($N_i \neq \emptyset$ et $l_2(A) = -1$).
 Imprimer le chemin trouvé s'il existe.

Fin

Preuve : Cet algorithme s'arrête si $N_i = \emptyset$ (il n'y a pas de solution) ou si $l_2(A) \neq -1$, le chemin étant alors facile à reconstituer à l'aide du tableau d'indice PRED qui permet de remonter jusqu'à D .

Pour tout $i \geq 0$ on a $N_i = \{ \text{cases } x / l_2^*(x) = i \}$ puisque la construction est identique à celle du paragraphe 3.2.

D'autre part il ne peut exister un chemin de D à A ayant $l_2^*(A)$ changements de direction et induisant une valeur $l_1(A)$ inférieure à celle trouvée par le chemin déduit du tableau PRED. En effet soit $\lambda = l_2^*(A)$. S'il existe deux prédécesseurs y à A dans $N_{\lambda-1}$ on mémorise dans PRED celui qui minimise $l_1(y) + d(A, y)$. On

est donc assuré d'obtenir ainsi parmi les chemins possédant un nombre minimal de changements de direction, un chemin traversant un nombre minimal de cases de D à A .

Notons que cet algorithme revient à construire pour chaque niveau N_i et pour toute case x de N_i , le bloc horizontal (ou vertical) maximal qui contient x (§ 3).

Remarque : Si une case x est atteinte horizontalement (resp. verticalement) alors il suffit de considérer à partir de x les cases que l'on peut atteindre verticalement (resp. horizontalement). Cette simple remarque a permis de diviser les temps d'exécution pratiquement par 2, mais a conduit à rajouter un tableau de taille MN .

Structure des données

La scène est représentée en mémoire par un vecteur, $LAB(x)$, $1 \leq x \leq MN$, de façon à réduire dans les programmes le nombre de calculs d'indices. Chaque case x autorisée de la scène, contient en partie gauche $l_2(x)$ et $l_1(x)$ en partie droite. Cette association dans le même vecteur de 3 informations (définition de la scène, l_1 et l_2) a permis de réduire le temps d'exécution et la place mémoire utilisée.

Notons que cet algorithme revient à parcourir la scène en *largeur d'abord* (breadth-first-search) et que nous avons seulement besoin de 2 niveaux N_i et N_{i-1} simultanément en mémoire, lesquels sont gérés comme des files (si le parcours avait été de type profondeur d'abord, on aurait utilisé une pile [2], [11]).

5.2. Complexité

Nous notons τ le taux de cases interdites dans la scène. Nous avons choisi $0,10 \leq \tau \leq 0,35$, au-delà de 0,35 la scène ne présentant plus, en pratique, de chemin reliant le départ D à l'arrivée A ; on prend arbitrairement $D=1$ et $A=M \cdot N$ pour avoir des ordres de grandeur maximale pour une scène de taille donnée $M \times N$.

Le nombre de cases autorisées y , considérées dans l'algorithme est inférieur à $(1-\tau)MN$. Le nombre « moyen » de cases interdites sur une ligne est τN (espérance mathématique d'une loi binomiale de paramètre τ). La distance « moyenne » entre 2 cases interdites est $N/\tau N = 1/\tau$ d'où le nombre moyen de cases directement accessibles, horizontalement ou verticalement (*voir* remarque du paragraphe 5) à partir d'une case y est $1/\tau$. Ainsi le corps de la boucle, dans lequel le nombre d'instructions exécutées est indépendant de la taille de la scène, est traité $(1-\tau)MN \cdot 1/\tau$ fois, d'où une complexité en $O(MN)$. Un seul niveau N_{i-1} , est nécessaire pour déterminer N_i . On aura donc seulement deux tableaux simultanément en mémoire avec la scène elle-même. La taille de ces tableaux, qui

est égale au nombre de cases atteintes à un niveau, décroît avec τ . Nous avons obtenu les valeurs moyennes suivantes pour $M = N = 50$:

TABLEAU I

Taux.	0,10	0,15	0,20	0,25	0,30	0,35	0,40
Taille.	830	500	360	230	175	85	15

La complexité spatiale totale a toujours été inférieure à $4.MN$ dans tous les exemples traités.

Le tableau suivant donne les temps moyens d'exécution (en secondes) obtenus en fonction du taux et de la taille $= M = N$ de la scène (CII 10070 du C.I.C.R.C. d'Orléans-Tours).

TABLEAU II

Taille	Taux					
	0,10	0,15	0,20	0,25	0,30	0,35
20 × 20.	2	1	1	1	0	0
30 × 30.	2	2	2	2	2	1
40 × 40.	5	4	4	3	3	—
50 × 50.	7	6	6	5	4	3
60 × 60.	11	9	7	6	6	6
70 × 70.	13	9	7	6	6	4
80 × 80.	15	12	9	7	7	6
90 × 90.	20	15	13	10	8	—
100 × 100.	26	19	15	12	—	—

5.3. Commentaires

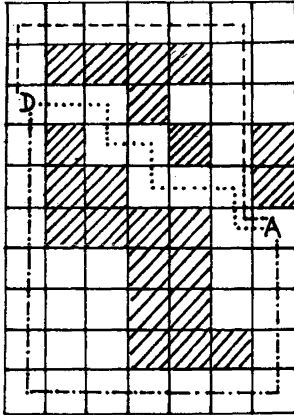
Nous avons pu borner le nombre maximal de cases considérées à partir de chaque case autorisée, par une « constante », $1/\tau$, indépendante de M et N , d'où un temps en $O(MN)$. Dans le pire des cas (worst case), quand il n'y a aucun obstacle dans l'aire, τ est nulle et $1/\tau = N$ c'est-à-dire que le nombre maximal de cases atteintes directement à partir d'une case donnée est borné par N (ou M), et $\lim_{\tau \rightarrow 0} (1 - \tau)MN \cdot 1/\tau = MN^2$. La complexité maximale de l'algorithme HIERAR-CHIE est en $O(MN^2)$.

6. ALGORITHME MULTICRITÈRE

Soit n_1 le nombre de changements de direction et n_2 le nombre de cases traversées pour un chemin allant de D à une case x, a le coût d'un changement de

direction et b le coût dû au fait de traverser une case. La valuation associée par ce chemin à x est alors $v(x) = n_1 a + n_2 b$. On notera $v^*(x) = \min v(x)$, calculé sur l'ensemble des chemins allant de D à x . On cherche $v^*(A)$ et un chemin optimal correspondant.

Il est clair que les critères séparés ou une hiérarchie de critères ne construisent pas un chemin optimal pour v , comme le montre l'exemple ci-dessous dans lequel $a=2$ et $b=1$.

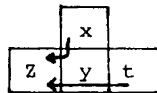


	n_1	n_2	v
chemin - - - -	3	13	19
chemin	6	9	21
chemin - - - -	2	17	21

Exemple traité en annexe

Pour traiter ce problème, nous construisons l'arborescence des chemins allant de D à A . Soit $CH = \{D, x_1, x_2, \dots, x_{i-1}, x_i\}$ un début de chemin allant de D à la case x_i . Supposons que $v(x_i) = k$. Soit $y \notin CH$ une case voisine de x_i . Si x_{i-1}, x_i, y est en ligne droite on pose $V(y) = k + b$ sinon on pose $v(y) = k + a + b$ puisqu'on a en plus un changement de direction pour passer de x_i à y en venant de x_{i-1} . On peut là aussi parler de décomposition en niveaux en posant : $y \in N_k \Leftrightarrow v(y) = k$. Une case y peut apparaître dans plusieurs niveaux contrairement à l'algorithme précédent.

Exemple ($a=3, b=1$) : Considérons les 4 cases suivantes extraites d'une scène :



Supposons que l'on ait $v(x) = 15$; alors $v(y) = 16$ et $v(z) = 20$. Supposons que l'on obtienne $v(t) = 17$; alors $v(y) = 18$. Cette valeur supérieure à $v(y) = 16$ obtenue précédemment doit néanmoins être conservée puisqu'elle implique $v(z) = 19$ meilleure que la valuation précédente de $v(z)$.

Ainsi, en posant $N_0 = \{D\}$, la détermination de $N_k (k \geq a+b)$ se fait à partir des niveaux N_{k-b} et N_{k-b-a} . On doit donc conserver $(a+b+1)$ niveaux simultanément en mémoire, ce qui n'est pas une contrainte trop lourde car chaque niveau ne contient que peu de sommets et notablement moins qu'à l'algorithme précédent; en effet, dans l'algorithme précédent on pouvait atteindre directement à partir de chaque case ($\neq D$) jusqu'à $\text{Max}(M, N) - 1$ cases, contre au plus 3 ici.

On essaie de préciser et réduire le nombre d'éléments de chaque niveau à l'aide des remarques et corollaires suivants.

Remarque 1 : Soit une case $y, y \in N_k$. Alors toute occurrence de y dans un niveau N_l avec $l-k \geq a$ est inutile.

En effet toute case x obtenue à partir de l'occurrence de y dans N_l possédera une valeur $v(x)$ supérieure ou égale à celle obtenue à partir de l'occurrence de y dans N_k (règle classique de preclusion).

Remarque 2 : Si 2 cases x et y se suivent dans le même ordre sur plusieurs chemins à partir de D , on peut ne garder que l'occurrence de y qui présente la valuation $v(y)$ minimale.

En effet toute case z obtenue à partir de l'une quelconque des occurrences de y , l'est de la même façon (c'est-à-dire avec ou sans changement de direction), et l'ordre sur les valuations de y se conserve sur les valuations de tous les successeurs de y .

Cette remarque permet de fusionner plusieurs débuts de chemins, technique bien connue pour réduire la taille des arborescences (branch merging) [6].

COROLLAIRE 1 : Toute case x possédant k cases voisines apparait au plus k fois dans l'arborescence.

Les occurrences de x doivent en effet d'après la remarque précédente être suivies de cases différentes.

COROLLAIRE 2 - Le nombre d'occurrences de sommets dans l'arborescence est inférieure à 4 fois le nombre de cases autorisées du labyrinthe.

L'emplacement maximal est donc linéaire en MN et en fait très proche de MN grâce à la suppression de toute occurrence d'une case dans un niveau N_l dès que cette case apparaît dans le niveau N_k , avec $l-k \geq a$. Notons que ce nombre d'occurrences est d'autant plus proche de MN que a est faible. Si $a=1$, pour toute case x on peut ne garder qu'une occurrence, celle pour laquelle $v(x)$ est minimale.

PROPOSITION : Soit $i = \min \{k/x \in N_k\}$; alors $i = v^*(x)$. Dire que x appartient à N_k c'est dire qu'il existe un chemin de D à x induisant une valuation $v(x) = k$. Donc $i = \min (v(x)) = v^*(x)$.

Algorithme :

Début

Initialisation Pour toute case x autorisée $LAB(x) = -1$
 sinon $LAB(x) = -2$; $LAB(A) = 1000$;
 $N_0 = \{D\}$; $i = -1$

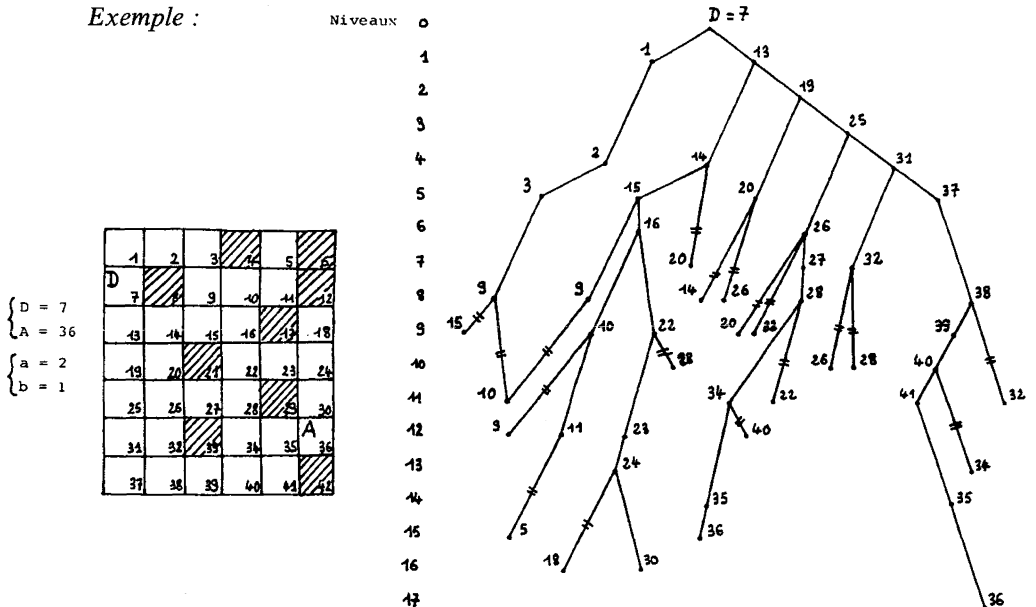
α : *Répéter* $i = i + 1$
 pour toute case y de N_i et pour toute case
 x voisine de y et différente de $PRED(y)$
 (prédécesseur de y)
faire : $l = i + a$ si $(PRED(y), y, x)$ sont alignés
 $l = i + a + b$ sinon
 Si $LAB(x) = -1$ placer x dans N_i ; $LAB(x) = l$;
 $PRED(x) = y$;
 Sinon on a $LAB(x) = k_0$;
 Si $l \geq k_0$: pour tout $k \in [k_0, l]$ s'il
 existe une case x de N_k telle que
 $PRED(x) = y$ aller en α ;
 Si pour toute case x de N_k , $PRED(x) \neq y$,
 mettre x dans N_i ;
 Si $l < k_0$ mémoriser x dans N_i ;
 $LAB(x) = l$; $PRED(x) = y$;

Tant que $i < LAB(A) - b$
Imprimer $LAB(A)$ et le chemin correspondant.

Fin :

Remarque : Le problème n'a pas de solution s'il existe $a + b - 1$ niveaux consécutifs vides, ce qui ne pose aucun problème au niveau de l'algorithme et du programme.

Exemple :



L'examen de N_{14} implique $v^*(A) = 14 + b = 15$.
 Le chemin optimal est $\{7, 13, 19, 25, 26, 27, 28, 34, 35, 36\}$.

En acceptant cette majoration en $O(N)$ on est conduit à un temps en $O(MN^2)$. La place mémoire utilisée n'a jamais excédé $2MN$. Le tableau suivant donne les temps moyens d'exécution (en secondes) en fonction de $M \times N$. Il est à noter que ces temps sont pratiquement indépendants du taux τ .

TABLEAU III

Taille.	20 × 20	30 × 30	40 × 40	50 × 50	60 × 60	70 × 70	80 × 80	90 × 90	100 × 100
Durée.	1	2	4	5	6	7	8	11	13

6.2. Commentaires

Il peut paraître paradoxal qu'un algorithme en $O(MN^2)$ donne certains temps moyens meilleurs que ceux d'un algorithme en $O(MN)$. En effet HIÉRARCHIE est plus lent que MULTICRITÈRE, mais seulement lorsque τ est inférieur à 0,20-0,25. On sait, d'autre part, que lorsque τ décroît, la rapidité de HIÉRARCHIE décroît aussi, puisqu'il y a, pour un nombre de niveaux constant, de plus en plus de cases à examiner, pour atteindre avec $\tau \sim 0$, le pire des cas. Avec MULTICRITÈRE, lorsque τ croît, il y a plus de niveaux à examiner mais moins de cases dans chaque niveau, et réciproquement lorsque τ décroît, ce qui explique l'indépendance des temps de MULTICRITÈRE par rapport à τ . Dans l'algorithme Hiérarchie, nous avons pu borner le nombre maximal (notons le γ) de cases considérées à partir de chaque case autorisée par une « constante » $1/\tau$, indépendante de N , d'où un temps en $O(MN)$. Au contraire, dans l'algorithme multicritère, γ peut être *au pire* de l'ordre de N , mais en pratique lorsque τ est faible, $1/\tau$ est supérieur à γ ce qui explique la différence des temps. $O(MN^2)$ représente la *complexité maximale* pour les 2 algorithmes car $\lim_{\tau \rightarrow 0} 1/\tau = N$ (c'est-à-dire que le nombre maximal de cases atteintes directement à partir d'une case donnée est aussi borné par N dans l'algorithme multicritère, si $\tau = 0$ (aucun obstacle dans l'aire). On connaît néanmoins les limites de la notation en $O(\quad)$ (voir par exemple [12]).

7. PROGRAMMES

A l'image de J. Arzac, nous pensons qu'il est impossible de dissocier algorithmique et programmation. Nous donnons en annexe les 2 programmes documentés. Nous avons essayé d'affiner au mieux la programmation : 3 versions successives ont été testées pour l'algorithme Hiérarchie dont bien sûr

seule la plus rapide a été conservée. Notons par exemple que le fait d'associer dans la même mémoire l_1 et l_2 relatives à la même case x , a permis en supprimant une structure répétitive de diviser par 4 les temps d'exécution.

Notons enfin une heuristique utilisée dans l'algorithme multicritère pour retrouver plus rapidement le chemin de la case arrivée à la case départ à l'aide des valuations : une case x étant trouvée, le prédécesseur essayé est d'abord la case située au-dessus de x plutôt qu'au dessous, à gauche de x plutôt qu'à droite, vues les dispositions des cases départ et arrivée.

Remarque : Des mots de 32 bits sont nécessaires pour Hiérarchie de façon à avoir 8 chiffres significatifs par mémoire (4 pour l_1 , 4 pour l_2).

CONCLUSION

Nous avons traité ici les problèmes de parcours dans une aire comme des problèmes de décomposition d'un graphe en niveaux, la décomposition variant selon les critères d'optimalité choisis. Les algorithmes polynomiaux développés ici ont conduit à des temps très faibles pour des scènes dont nous avons fait varier la taille jusqu'à 100×100 (moins de 30 secondes sur un CII 10070). Ces algorithmes sont utilisables dès que la scène est entièrement déterminée ce qui peut se faire dans une première étape par des procédures énumératives (avec heuristiques) du domaine de l'intelligence artificielle.

Algorithme multicritère : On reprend ici les deux exemples simples du paragraphe 6. Dans chaque niveau, chaque case x est mémorisée sous la forme d'un entier avec 8 chiffres significatifs, les 4 de gauche indiquent le numéro de la case x , les 4 de droite indiquent le numéro de la case qui a permis d'atteindre x .

```

LABYRINTHE DE DEPART ( 7° 6) :
DEPART= 7
ARRIVEE= 36

  1  2  3  0  5  0
  7  0  9 10 11 0
 13 14 15 16 0 18
 19 20 0 22 23 24
 25 26 27 28 0 30
 31 32 0 34 35 36
 37 38 39 40 41 0
NIVEAU: 0      7.C000
NIVEAU: 1     13.C007 1.0007
NIVEAU: 2     19.C013
NIVEAU: 3     25.C019
NIVEAU: 4     14.C013 2.0001 31.C025
NIVEAU: 5     20.C019 15.0014 3.C002 37.C031
NIVEAU: 6     26.C025 16.0015
NIVEAU: 7     32.C031 27.0026
NIVEAU: 8     9.C015 9.0003 38.0037 28.C027
NIVEAU: 9     22.C016 10.0016 39.C038
NIVEAU: 10    40.C039
NIVEAU: 11    34.C028 41.0040
NIVEAU: 12    23.C022 11.C010
NIVEAU: 13    24.C023
NIVEAU: 14    35.C034 35.0041
NIVEAU: 15    5.C011 36.0035
    
```

```

V(C)=0 V(A)= 15
LABYRINTHE FINAL
  1  4  5 -2 15 -2
  0 -2  8  9 12 -2
  1  4  5  6 -2 16
  2  5 -2  9 12 13
  3  6  7  8 -2 16
  4  7 -2 11 14 15
  5  8  9 10 11 -2
NOMBRE DE CASES AUTORISEES CANDIDATES
A ENTRER DANS L'ARBORESCENCE: 54
NOMBRE DE CASES DANS L'ARBORESCENCE: 34
    
```

```

LABYRINTHE DE DEPART (10° 7) :
DEPART= 15
ARRIVEE= 42

  1  2  3  4  5  6  7
  8  0  0  0  0 13 14
 15 16 17 0 19 20 21
 22 0 24 25 0 27 0
 29 0 0 32 33 34 0
 36 0 0 0 0 41 42
 43 44 45 0 0 48 49
 50 51 52 0 0 55 56
 57 58 59 0 0 0 63
 64 65 66 67 68 69 70
NIVEAU: 0      15.C000
NIVEAU: 1     16.C015 22.0015 8.0015
NIVEAU: 2     17.C016 29.0022 1.C008
NIVEAU: 3     38.0029
NIVEAU: 4     23.C036
NIVEAU: 5     24.C017 2.0001 50.C043
NIVEAU: 6     3.C002 57.0050
NIVEAU: 7     44.C043 4.0003 64.C057
NIVEAU: 8     25.C024 51.0050 45.0044 5.C004
NIVEAU: 9     58.C057 52.0051 6.C005
NIVEAU: 10    65.C064 49.0058 7.C006
NIVEAU: 11    32.C025 66.0065
NIVEAU: 12    12.C006 67.0066
NIVEAU: 13    14.0007 20.0013 68.0067
NIVEAU: 14    32.C032 21.0017 27.C020 69.C068
NIVEAU: 15    34.C033 34.0027 70.C069
NIVEAU: 16    15.C020 41.0034
NIVEAU: 17    48.C041
NIVEAU: 18    21.C034 63.0070 55.0048
NIVEAU: 19    29.C041 56.0063
    
```

```

V(C)=0 V(A)= 15
LABYRINTHE FINAL
  2  5  6  7  8  9 10
  1 -2 -2 -2 -2 12 13
  0  1  2 -2 16 13 14
  1 -2  5  8 -2 14 -2
  2 -2 -2 11 14 15 -2
  3 -2 -2 -2 -2 16 19
  4  7  8 -2 -2 17 20
  5  8  9 -2 -2 18 19
  6  9 10 -2 -2 -2 18
  7 10 11 12 13 14 15
NOMBRE DE CASES AUTORISEES CANDIDATES
A ENTRER DANS L'ARBORESCENCE: 70
NOMBRE DE CASES DANS L'ARBORESCENCE: 49
    
```


Multicritère :

```

TAUX DE PRESENCE D OBSTACLES: 35

VICI=0   VIAI= 268
          LABYRINTHE FINAL

NOMBRE DE CASES AUTORISEES CANDIDATES
A ENTRER DANS L ARBORESCENCE: 51953
NOMBRE DE CASES DANS L ARBORESCENCE: 24211
PARCOURS: 4700 4849 4829 4759 4639 4619 4549 4479 4409 4339 4336 4268 4198 4197 4127 4057 3987 3917 3847 3777
3776 3775 3774 3773 3703 3633 3563 3493 3423 3353 3283 3282 3281 3280 3279 3278 3277 3207 3137 3067
3066 3065 3064 2994 2924 2854 2784 2785 2715 2645 2575 2574 2504 2434 2364 2294 2296 2295 2225
2155 2085 2015 1945 1875 1876 1806 1736 1737 1738 1668 1598 1528 1458 1388 1387 1386 1385 1384 1383
1382 1381 1311 1241 1171 1170 1169 1099 1029 1028 958 888 818 748 747 746 745 744 743 742
741 740 670 669 668 667 666 665 735 805 874 803 802 801 800 799 798 797 796 795
794 864 863 862 932 1002 1070 930 860 859 858 857 856 855 854 924 923 922 921
851 830 649 848 847 846 845 775 774 773 772 702 632 562 692 422 421 351 281 211
212 142 72 2 1
NOMBRE DE CHANGEMENTS DE DIRECTION: 52
NOMBRE DE CASES TRAVERSEES: 183
DUREE = 4
    
```

Hierarchie :

```

----- LABYRINTHE FINAL -----

PARCOURS
 1 2 212 211 351 352 772 775 845 851 921 924 854 856 996 1002 932 933 793 804
244 254 324 330 390 200 1110 1112 1462 1461 2161 2156 2436 2434 2574 2575 2785 2784 2994 2997
3277 3280 3560 3565 3985 3988 4334 4339 4899 4900
NOMBRE DE CASES TRAVERSEES = 183
NOMBRE DE CHANGEMENTS DE DIRECTION = 48
    
```

Programmes :

HIERARCHIE.3

```

C-----MARK(I) REPRESENTE COMMENT ON ATTEINT LA CASE I
C-----LAB REPRESENTE LE SCENE,DE DIMENSION M*NN
C-----N REPRESENTE LES 2 NIVEAUX NECESSAIRES DANS L ALGORITHME
C-----PRED(I) EST LE PREDECESSEUR DE LA CASE I
C      LE CHEMIN SCLUTION EST MEMORISE DANS IPARC
      DIMENSION MARK(2500)
      DIMENSION LAB(2500),N(2,2000),PRED(2500),IUP(4)
      DIMENSION IPARC(300),ITEMP(5),IMPRIM(10)
      INTEGER CHIF(9)
      LOGICAL TEST(4)
      INTEGER A,D,TAUX
      INTEGER DISTIX,DISTIY,DIMIL
      DATA CHIF/'1','2','3','4','5','6','7','8','9'/
      DIMIL=10000
      LIM=1500
      READ(7,5)M,NN
5      FDKMAT(212)
      MN=M*NN
      MAX=MAXO(M,NN)
      READ(7,7)IMPRIM
7      FDKMAT(10A1)
      ICHIF=NN/10
      IMPRIM(6)=CHIF(ICHIF)
      IOP(1)=1
      IOP(2)=-1
      IOP(3)=NN
      IOP(4)=-NN
      DD 1789 TAUX=10.40,5
      CALL TIMER(IVA,1,0)
      WRITE(8,10)TAUX/100.
10     FDKMAT(11H1,20X,'TAUX DE PRESENCE D OBSTACLES:',F3.2)
      CALL TIME(ITEMP,IX)
      IX=123579
      LUTPUT(8)IX
      RMN=FLODAT(MN)
      DD 15 I=1,MN
      LAB(I)=0
      CALL HASARD(IX,LX,R,AN,0..10.)
      IX=LX
      TD=TAUX/10.
      IF(AN.GT.TD)LAB(1)=1
15     CONTINUE
      WRITE(8,20)
<0    FORMAT(20X'LABYRINTHE DE DEPART')
<1    FDKMAT(20X,70I1)
      CALL HASARD(IX,LX,R,AN,1.,RMN)
      IX=LX
      U=AN
      U=1
      CALL HASARD(IX,LX,R,AN,1.,RMN)
      A=AN
      A=MN
      DD 25 I=1,MN
<5    LAB(I)=LAB(I)-2
      LAB(A)=-1
      IF(NN.LE.60)WRITE(8,IMPRIM)(LAB(17),17=1,MN)
      WRITE(8,30)D,A
30    FDKMAT(5X,'CASE DE DEPART:',14,' CASE D ARRIVEE :',14)

```

```

LAB(D)=0
N(1,1)=0
NVIR=-1
KO=1
PRED(D)=0
40 IALF=KO
   KO=0
   NVIR=NVIR+1
   WRITE(8,41)NVIR
41 FORMAT(30X,'ETAT DU LABYRINTHE AU NIVEAU:',I4)
   J=1
   IF(NVIR-NVIR/2=2.NE.0)J=2
   DO 95 K=1,IALF
   IY=N(J,K)
   DO 90 ITEST=1,4
   IF(IY.EQ.D) GOTD 42
   IF(ITEST.LE.2.AND.MARK(IY).LE.2) GOTD 90
   IF(ITEST.GT.2.AND.MARK(IY).GT.2) GOTD 90
42 DO 85 INB=1,MAX
   IX=IY+IDP(ITEST)*IND
   TEST(1)=IX.GT.NN*((IY-1)/NN+1)
   TEST(2)=IX.LT.NN*((IY-1)/NN)+1
   TEST(3)=IX.GT.MN
   TEST(4)=IX.LE.0
   IF(TEST(ITEST))GOTD90
   IF(LAB(IX)+1)90,45,50
C EN 45 CN A LAB(IX)=-1
45 KO=KO+1
   IF(KO.GT.LIM) GOTD 100
   N(3-J,KO)=IX
   LAB(IX)=NVIR*DIMIL
   DISTIY=LAB(IY)-LAB(IY)/DIMIL*DIMIL
   LAB(IX)=LAB(IX)+DISTIY+IND
   PRED(IX)=IY
   MARK(IX)=ITEST
   GOTD 85
50 IF(LAB(IX)/DIMIL-NVIR+1)70,85,52
C EN 52 LAB(IX)=NVIR
52 DISTIX=LAB(IX)-LAB(IX)/DIMIL*DIMIL
   DISTIY=LAB(IY)-LAB(IY)/DIMIL*DIMIL
   IF(DISTIX.LE.DISTIY+IND)GOTO 85
   LAB(IX)=NVIR*DIMIL+DISTIY+IND
   PRED(IX)=IY
   MARK(IX)=ITEST
   GOTD 85
70 IF(LAB(IX)/DIMIL.EQ.NVIR-2) GOTD 90
75 WRITE(8,80)IX,LAB(IX),NVIR,IY,IND,ITEST,K
80 FORMAT(20X'ERREUR LAB(',I4,')=',I4,'NVIR= ',I3,4I6)
85 CONTINUE
C----- UN CONTINUE MEME DIRECTION
90 CONTINUE
C----- UN CHANGE DE DIRECTION
95 CONTINUE
C----- UN PASSE AU POINT SUIVANT
   WRITE(8,100)NVIR,KO
100 FORMAT(10X,'NBRE D ELEMENTS DU NIVEAU ',I4,' = ',I6)
C..... EST-ON ARRIVE ???
   IF(LAB(A).NE.-1)GOTO 110
C..... PEUT ON PARVENIR A L'ARRIVEE
   IF(KO.NE.0)GOTO 40
   WRITE(8,105)D.A
105 FORMAT(20X,'PAS DE SOLUTION ENTRE',I4,'ET',I4)
   GOTD 1789
110 IPRED=A
   LONG=LAB(A)-LAB(A)/DIMIL*DIMIL
   WRITE(8,115)
115 FORMAT(40X,'----- LABYRINTHE FINAL -----')
   DO 120 I7=1,MN
120 LAB(I7)=LAB(I7)/DIMIL
   IF(NN.LE.60)WRITE(8,IMPRIM)(LAB(I7),I7=1,MN)

```



```

C..... CONSTRUCTION DU VECTEUR <= PARCOURS
      K=0
125  IF(IPRED.EQ.D)GOTO 130
      K=K+1
      IPARC(K)=IPRED
      IPRED=PRED(IPRED)
      GOTO 125
130  K=K+1
      IPARC(K)=D
      WRITE(8,135)
135  FORMAT(///,10X,'PARCOURS')
      WRITE(8,140)(IPARC(I),I=K,1,-1)
140  FORMAT(10X,20I5)
      WRITE(8,145)LONG+1
145  FORMAT(10X'NOMBRE DE CASES TRAVERSEES =' ,I5)
      WRITE(8,150)NVIR
150  FORMAT(10X'NOMBRE DE CHANGEMENTS DE DIRECTION =' ,I5)
      CALL TIMER(IVU,1,0)
      JTEMP=IVA-IVU
      WRITE(8,165)JTEMP
165  FORMAT(10X,'DUREE=' ,I6)
      GOTO 1789
1800 WRITE(8,1805)
1805 FORMAT(10X'PAS ASSEZ DE PLACE DANS LE TABLEAU N...')
1789 CONTINUE
      STCP
      END

```

BIBLIOGRAPHIE

1. M. DELANNOY, M. LEROI et M. BOURTON, *Recherche d'un chemin optimal dans une scène planifiée*, 2^e congrès A.F.C.E.T.-I.R.I.A.; *Reconnaissance des formes et intelligence artificielle*, septembre 1979, Toulouse.
2. GONDRAN et MINOUX, *Graphes et algorithmes*, Eyrolles, 1979.
3. HART, NILSSON et RAPHAEL, *A formal Basis for the Heuristic Determination of Minimum Cost Paths*, I.E.E.E., vol. SSC-4, n° 2, 1968.
4. GIRALT, SOBEK et CHATILA, *A Multi-Level Planning and Navigation System for a Mobil Robot: a First Approach to Hilare*, Sixth International Joint Conference on Artificial Intelligence, 20-24/8/1979, Tokyo.
5. THOMPSON, *The Navigation system of the J.P.L. Robot*, Proceedings of the I.J.C.A.I., août 1977, p. 749-757.
6. BITNER et REINGOLD, *Backtrack programming techniques*, Comm. of the A.C.M., vol. 18, n° 11, novembre 1975, p. 651-656.
7. J. R. CAYROL, *Conception de la simulation d'un robot*, Thèse 3^e cycle, 1978, Toulouse.
8. POHL, *Heuristic Search Viewed as Path Finding in a Graph*, Artificial Intelligence, vol. 1, 1970, p. 193-204.
9. DORAN et MICHIE, *Experiments With the Graph Traverser Program*, Proc. Roy. Soc., vol. A, n° 294, 1966, p. 235.
10. M. SHIMURA, *Heuristic Problem Solving by Tree Search*, Systems Computers Controls, vol. 8, n° 4, 1977.
11. D. E. KNUTH, *The Art of Computer Programming*, vol. 1. *Fundamentals Algorithms*, Addison-Wesley, 1973.
12. MEYER et BAUDOIN, *Méthodes de programmation*, Eyrolles, 1978.